

Geodésicas nulas en Schwarzschild - deflexión de la luz.

- Rayos de luz siguen geodésicas con tangentes nulas, o luminales:

$$g_{\mu\nu} \frac{dx^\mu}{d\lambda} \frac{dx^\nu}{d\lambda} = 0 \quad \text{si } \lambda \text{ es un parámetro por la geodésica}$$

- Realmente esto es una aproximación que vale en el límite de longitud de onda corta - la aproximación de óptica geométrica. En general la luz es gobernada por las ecuaciones de Maxwell en espacio tiempo curvo.

- Geodésicas nulas se pueden caracterizar como los puntos estacionarios de la acción

$$I = \int \frac{1}{2} g_{\mu\nu} \dot{x}^\mu \dot{x}^\nu d\lambda$$

y la condición  $g_{\mu\nu} \dot{x}^\mu \dot{x}^\nu = 0$  es la solución

El momento canónico es  $p_\mu = \frac{\partial L}{\partial \dot{x}^\mu} = g_{\mu\nu} \dot{x}^\nu$  y la ecuación de Euler-Lagrange es

$$\begin{aligned} 0 = \frac{d}{d\lambda} g_{\mu\nu} \dot{x}^\nu - \frac{1}{2} \partial_\mu g_{\nu\rho} \dot{x}^\nu \dot{x}^\rho &= g_{\mu\nu} \ddot{x}^\nu + \dot{x}^\sigma [\partial_\sigma g_{\mu\rho} - \frac{1}{2} \partial_\mu g_{\sigma\rho}] \dot{x}^\rho \\ &= g_{\mu\nu} [\ddot{x}^\nu + \Gamma_{\sigma\rho}^\nu \dot{x}^\sigma \dot{x}^\rho] \end{aligned}$$

Esto es la ecuación de una geodésica con  $\lambda$  un parámetro afín. Así en puntos estacionarios  $\lambda$  es un parámetro afín.

- Nota además que si  $g_{\mu\nu} \dot{x}^\mu \dot{x}^\nu = 0$  en un punto sobre la geodésica entonces vale en todos los demás:

La ecuación de la geodésica se puede escribir como

$$0 = \nabla_P P \implies P^\mu = \dot{x}^\mu$$

Además  $\nabla g = 0$ , Entonces  $\nabla_P g(P, P) = \nabla_P g(P, P) + g(\nabla_P P, P) + g(P, \nabla_P P) = 0$

$\Rightarrow g(P, P) = g_{\mu\nu} \dot{x}^\mu \dot{x}^\nu$  es constante a lo largo de una geodésica

Entre las soluciones, hay una con  $\lambda$  escalada tal que  $p^\mu$  es cualquier 4-momentum que queremos. — La linea mundo no depende de 4-momento  $p$ , mientras la longitud de onda es suficientemente corta que vale la aproximación de óptica geométrica y  $p^\mu$  es suficientemente chico tal que la partícula no tiene un importante campo gravitatorio propio.

- Alternativamente podríamos usar la acción  $I = \int \frac{1}{2} g_{\mu\nu} \dot{x}^\mu \dot{x}^\nu d\lambda$ , pero para este problema no tiene ventaja.
- Como en el caso de la partícula con masa, el hecho que  $g_{tt}$  es independiente de  $t$  y  $\phi$  implica que  $p_t$  y  $p_\phi$  se conservan.
- De la misma manera como para la partícula con masa podemos aprovechar la libertad de girar las coordenadas esféricas  $\theta, \phi$  para demostrar que la geodésica permanece en un plano que identificamos con  $\theta = \frac{\pi}{2}$
- Vamos a definir  $e = p_t$  — igual que antes pero sin dividir por  $m$ .  
 $L = p_\phi$
- La ecuación radial es

$$0 = g_{\mu\nu} p^\mu p^\nu = g^{rr} p_r p_r$$

$$= - \left(1 - \frac{2M}{r}\right)^{-1} e^2 + \left(1 - \frac{2M}{r}\right) \left(\frac{dr}{d\lambda}\right)^2 + \frac{1}{r^2} l^2$$

$\hookrightarrow g^{\phi\phi} \text{ en } \theta = \frac{\pi}{2}$

Podríamos haber encontrado la ecuación radial para partículas con masa a partir de

$$-m^2 = g^{rr} p_r p_r$$

- Multiplicando por  $\frac{1}{l^2} \left(1 - \frac{2M}{r}\right) \frac{dr}{d\lambda}$  — supongamos que  $l \neq 0$

$$0 = -\frac{e^2}{l^2} + \frac{1}{l^2} \left(\frac{dr}{d\lambda}\right)^2 + \frac{1}{r^2} \left(1 - \frac{2M}{r}\right)$$

$$\text{Def}^n \quad b = \left|\frac{l}{e}\right|, \quad W_{\text{eff}}(r) = \frac{1}{r^2} \left(1 - \frac{2M}{r}\right)$$

$$\Rightarrow \frac{1}{b^2} = \frac{1}{l^2} \left(\frac{dr}{d\lambda}\right)^2 + W_{\text{eff}}(r) \quad \hookrightarrow \text{ecuación radial para geodésicas nulas no radiales}$$

(3)

$$\text{Dado que } l = g_{\phi\phi} \frac{d\phi}{d\lambda} = r^2 \sin^2 \theta \frac{d\phi}{d\lambda} = r^2 \frac{d\phi}{d\lambda}$$

$$\frac{1}{r^2} \left( \frac{dr}{d\lambda} \right)^2 = \frac{1}{r^4} \left( \frac{dr}{d\phi} \right)^2$$

$$\Rightarrow \frac{1}{b^2} = \frac{1}{r^4} \left( \frac{dr}{d\phi} \right)^2 + W_{eff}(r) \quad \text{para geodésicas nulas no radiales}$$

- A diferencia del caso no nulo hay solo un parámetro,  $b$ , en lugar de dos,  $c$  y  $l$ .

¿Qué significa  $b$ ?

Si la geodésica llega hasta  $r=\infty$  entonces  $b$  es el parámetro de impacto.

$$\text{Definimos } x^1 = x = r \sin \theta \cos \phi$$

$$x^2 = y = r \sin \theta \sin \phi$$

$$x^3 = z = r \cos \theta$$

- si  $r \gg r_s = 2M$  entonces estas coordenadas son aproximadamente Cartesianas.

$$\text{De hecho } ds^2 \approx -dt^2 + dx^2 + dy^2 + dz^2$$

$$\partial_\phi x^i = \begin{bmatrix} -r \sin \theta \sin \phi \\ r \sin \theta \cos \phi \\ 0 \end{bmatrix} = \begin{bmatrix} -y \\ x \\ 0 \end{bmatrix} = [\hat{z} \times \vec{r}]^i \quad \text{para } r \gg r_s$$

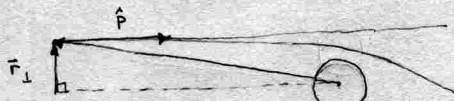
$$- l = p_\phi = g(\partial_\phi, p) = \partial_\phi x^i \delta_{ij} p^j = (\hat{z} \times \vec{r}) \cdot \vec{p} = \hat{z} \cdot (\vec{r} \times \vec{p}) = L_z$$

- Porque la geodésica es nula  $-e^2 + \|\vec{p}\|^2 = 0$  vensor en dirección de  $\vec{p}$

$$\Rightarrow b = |\frac{L_z}{e}| = |\hat{z} \cdot (\vec{r} \times \vec{p})| = |\hat{z} \cdot (\vec{r} \times \hat{p})| = \|\vec{r}_\perp\|$$

con  $\vec{r}_\perp$  el componente de  $\vec{r}$  perpendicular a  $\vec{p}$  en el pleno perpendicular a  $\hat{z}$

$\Rightarrow b$  es efectivamente lo que se llama parámetro de impacto.



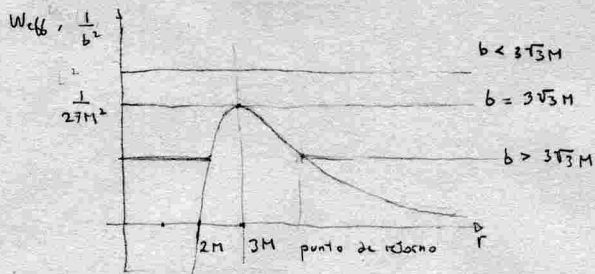
(4)

¿Cómo son las trayectorias de la luz?

$$\frac{1}{b^2} = \frac{1}{r^4} \left( \frac{dr}{d\phi} \right)^2 + W_{\text{eff}}(r)$$

$$\text{con } W_{\text{eff}}(r) = \frac{1}{r^2} \left( 1 - \frac{2M}{r} \right)$$

$$= \frac{1}{r^2} - \frac{2M}{r^3}$$



- Máximo de  $W_{\text{eff}}$

$$0 = \frac{dW_{\text{eff}}}{dr} = -\frac{2}{r^3} + \frac{6M}{r^4} \Leftrightarrow 0 = r - 3M \Leftrightarrow r = 3M$$

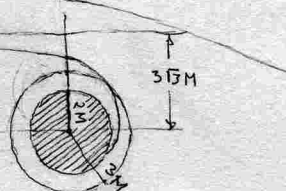
$$\Rightarrow \max(W_{\text{eff}}) = W_{\text{eff}}(3M) = \frac{1}{9M^2} \left( 1 - \frac{2M}{3M} \right) = \frac{1}{27M^2} = \left( \frac{1}{3\sqrt{3}M} \right)^2$$

- Trajetorias

-  $b < 3\sqrt{3}M$   $\Rightarrow \frac{1}{b^2} > \frac{1}{27M^2} = \max(W_{\text{eff}})$  - trayectoria entrante llega hasta  $r=0$  ( $2M$ ), saliente hasta  $r=\infty$ .

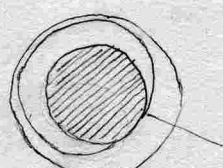
- caso límite  $b = 3\sqrt{3}M$   $\Rightarrow \frac{1}{b^2} = \frac{1}{27M^2} = \max(W_{\text{eff}})$

- órbita circular inestable de luz en  $r = 3M$



-  $b > 3\sqrt{3}M$   $\Rightarrow \frac{1}{b^2} < \frac{1}{27M^2} = \max(W_{\text{eff}})$

- trayectoria entrante desde  $r=\infty$  se acerca hasta un  $r$  de retorno,  $\frac{1}{b^2} = W_{\text{eff}}(r_{\text{return}})$ , y luego se aleja de vuelta. Esto es el caso relevante para el dobleamiento de luz por el sol ya que el radio de la fotosfera  $R_\odot \gg 3\sqrt{3}M$



- trayectoria a partir de un punto con  $2M < r < 3M$ :

la trayectoria sube y luego cae de vuelta hacia  $r=2M$

¿Cómo se ve el horizonte de un agujero negro desde lejos?

- Los rayos de luz que llegan al observador y que extrapolado hacia atrás como si el espacio tiempo fuera plano pasen a una distancia menor a  $3\sqrt{3}M$  del centro del agujero provienen del horizonte.  $\Rightarrow$  El horizonte pasa una esfera de radio  $3\sqrt{3}M$ .

Sí y que se verá allí?

- Se ve todo lo que alguna vez cayó en el agujero, congelado justo encima  $r = 2M$
- pero enrojeciéndose y oscureciéndose tal que pronto el horizonte se prácticamente negro.
- En adición se ve un brillo uniforme, la radiación de Hawking. Pero para un agujero negro de masa estelar o más este es muy, muy débil.

### Doblamiento de luz por el Sol

$$D \text{cf}^n \omega = \frac{b}{r}$$

Aquí ' $\text{cf}^n$ ' significa  $\frac{d}{d\phi}$

$$\text{Ec. radial es } 1 = \omega'^2 + \omega^2 - \frac{2M}{b} \omega^3$$



- Luz de estrellas debe pasar fuera de la fotografía y va casi recto. Así  $b \gg R_\odot$

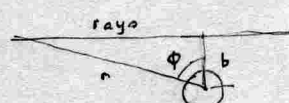
$$\Rightarrow \frac{M}{b} \leq \frac{1.47 \text{ km}}{6.96 \times 10^5 \text{ km}} = 2.11 \times 10^{-6} \ll 1$$

Vamos a buscar la solución a la ecuación radial solo hasta primer orden en  $\frac{M}{b}$

- Primero la solución de orden cero = la solución sin el último término en la ecuación radial:

- Probamos con  $\omega(\phi) = \frac{b}{r(\phi)}$  correspondiente a propagación en una línea recta  
(interpretando  $r$  y  $\phi$  como coordenadas polares en el plano Euclídeo)

- ponemos  $\phi = 0$  en el punto de mayor acercamiento del rayo al origen



$$\Rightarrow b = r \cos \phi \Rightarrow \omega = \cos \phi$$

$$\omega'^2 + \omega^2 = \sin^2 \phi + \cos^2 \phi = 1 \quad \checkmark \quad \text{Es una solución}$$

- Ahora hallamos la corrección de primer orden en  $\frac{M}{b}$  a esta solución

Primero diferenciamos a la ecuación radial en  $\phi$

$$\Rightarrow 0 = 2\omega' \omega'' + 2\omega' \omega - \frac{6M}{b} \omega' \omega^2 \Rightarrow 0 = \omega'' = 0 \quad \text{— órbita circular. No nuestro caso.}$$

$$0 = \omega'' + \omega \omega' = \frac{3M}{b} \omega^2$$

Si la solución es de la forma  $w(\phi) = \cos \phi + \frac{M}{b} f_1(\phi) + \left(\frac{M}{b}\right)^2 f_2(\phi) + \dots$

entonces hasta primer orden en  $\frac{M}{b}$

$$w'' + w = \frac{3M}{b} \cos^2 \phi$$

$$\cos 2\phi = \cos^2 \phi - \sin^2 \phi = 2 \cos^2 \phi - 1$$

$$\Rightarrow \cos^2 \phi = \frac{\cos 2\phi + 1}{2}$$

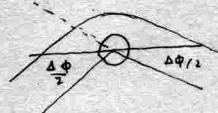
$$\Rightarrow w = \cos \phi + \frac{3}{2} \frac{M}{b} + A \cos 2\phi \quad \text{con} \quad -4A + A = \frac{3}{2} \frac{M}{b} \Rightarrow A = -\frac{1}{2} \frac{M}{b}$$

$$= \cos \phi + \frac{3}{2} \frac{M}{b} - \frac{1}{2} \frac{M}{b} \cos 2\phi$$

$$= \cos \phi + 2 \frac{M}{b} - \frac{M}{b} \cos^2 \phi$$

- Es fácil verificar que esta solución satisface la ecuación radial hasta primer orden en  $\frac{M}{b}$ .

- Ahora ¿cuánto es el ángulo  $\Delta\phi$  por el cual la luz es doblada?



$$0 = \cos\left(\frac{\pi}{2} + \frac{\Delta\phi}{2}\right) + \frac{3M}{2b} - \frac{1}{2} \frac{M}{b} \cos(\pi + \Delta\phi)$$

$$= -\sin\left(\frac{\Delta\phi}{2}\right) + \frac{3M}{2b} + \frac{1}{2} \frac{M}{b} \cos(\Delta\phi)$$

$$\Rightarrow \frac{\Delta\phi}{2} = \frac{3M}{2b} + \frac{1}{2} \frac{M}{b} \quad \Rightarrow \quad \Delta\phi = \frac{4M}{b} = 6.44 \times 10^{-6} = 1.74'' \text{ segundos de arco}$$

Esto es el desplazamiento angular hacia afuera predicho para las imágenes de las estrellas que se ven justamente en el borde de la fotopérsica (o la Luna en un eclipse total).

Es la predicción que confirmó Eddington.